

1/21

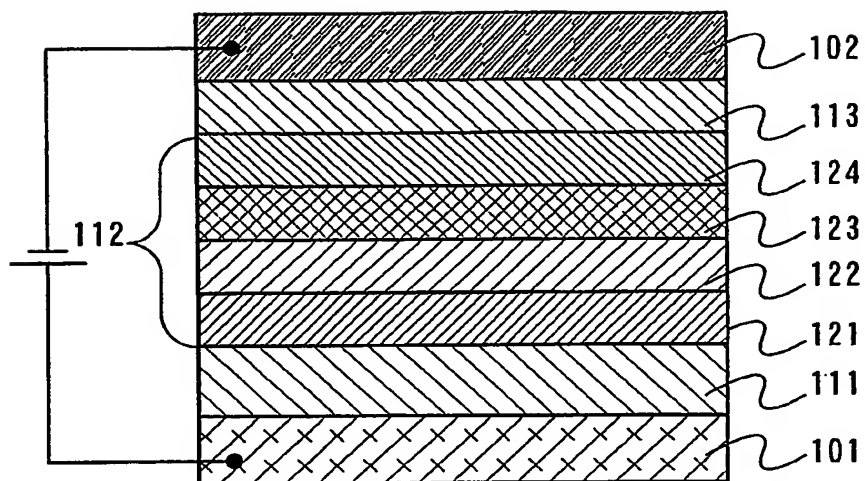


Fig. 1

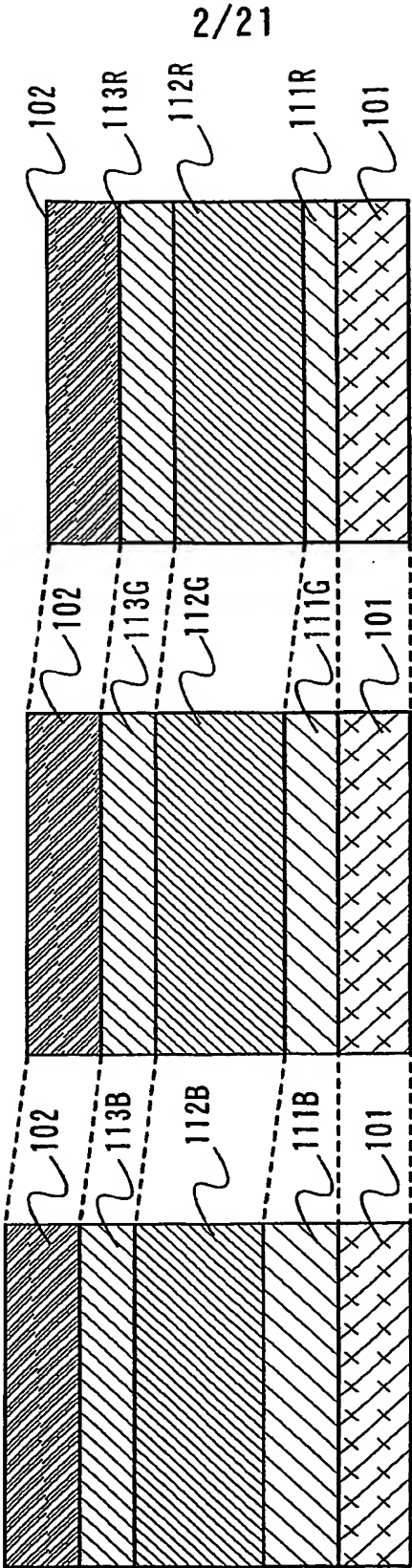


Fig. 2

3/21

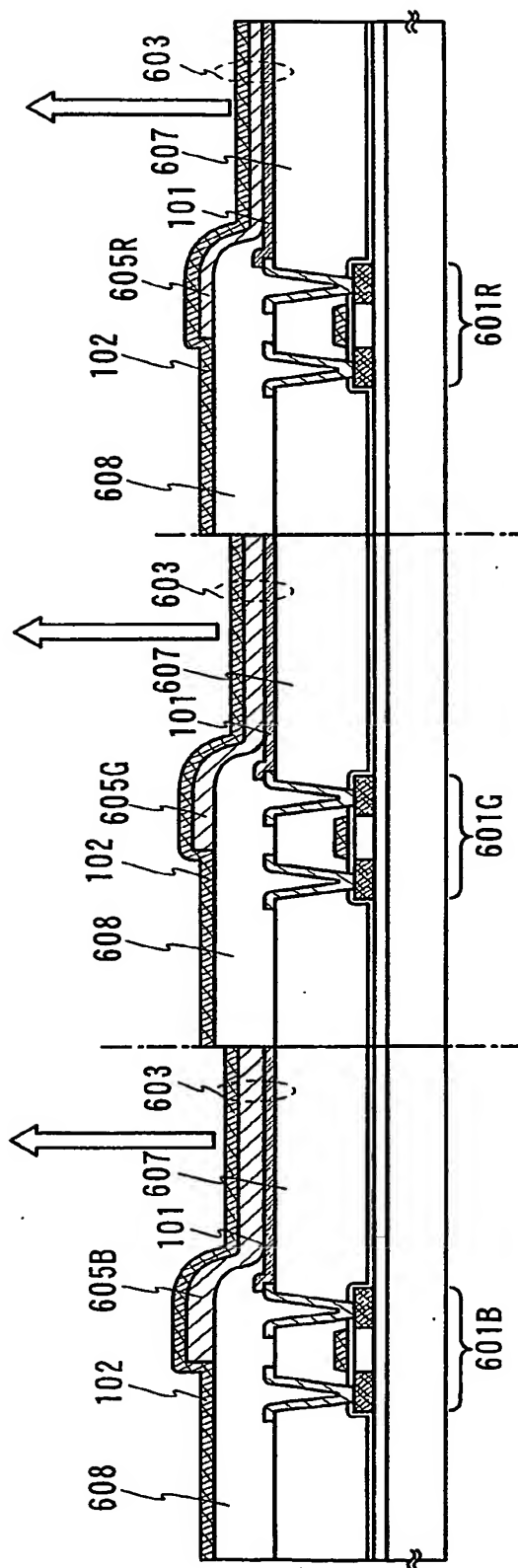


Fig. 3

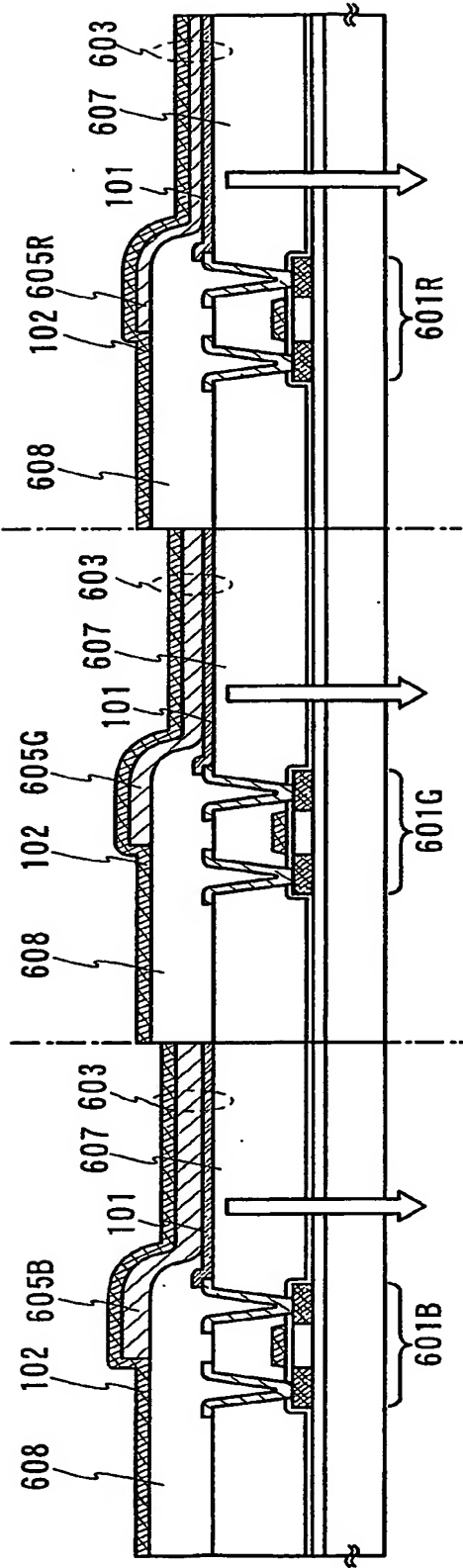


Fig. 4

5/21

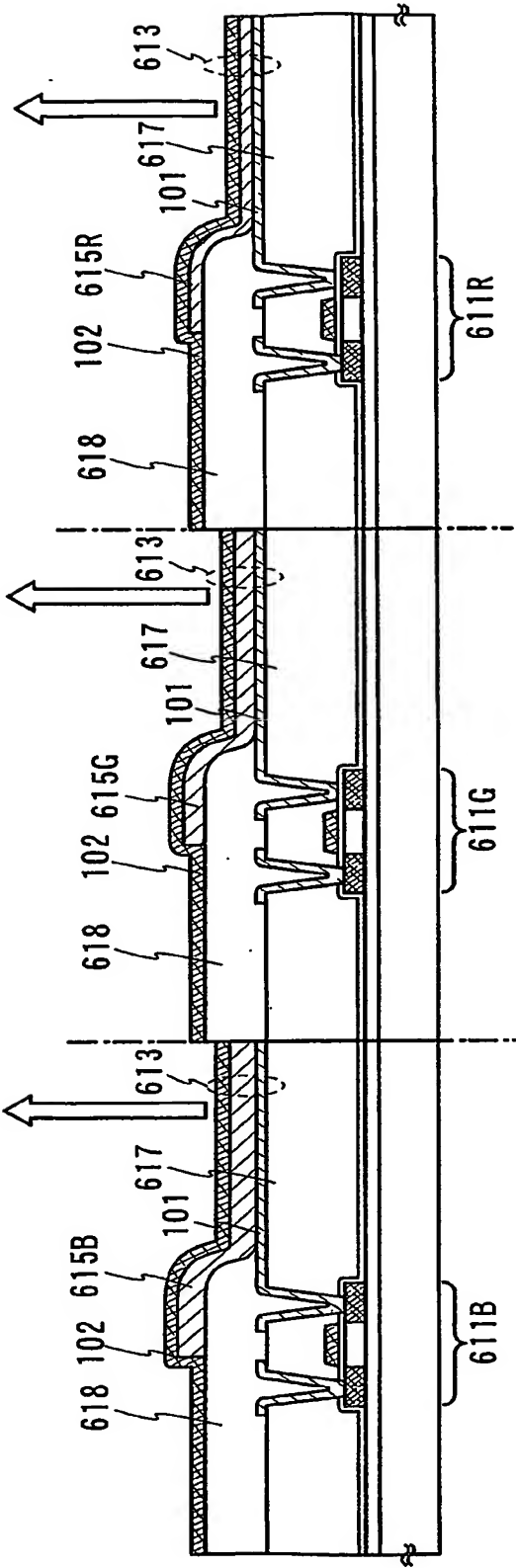


Fig. 5

6/21

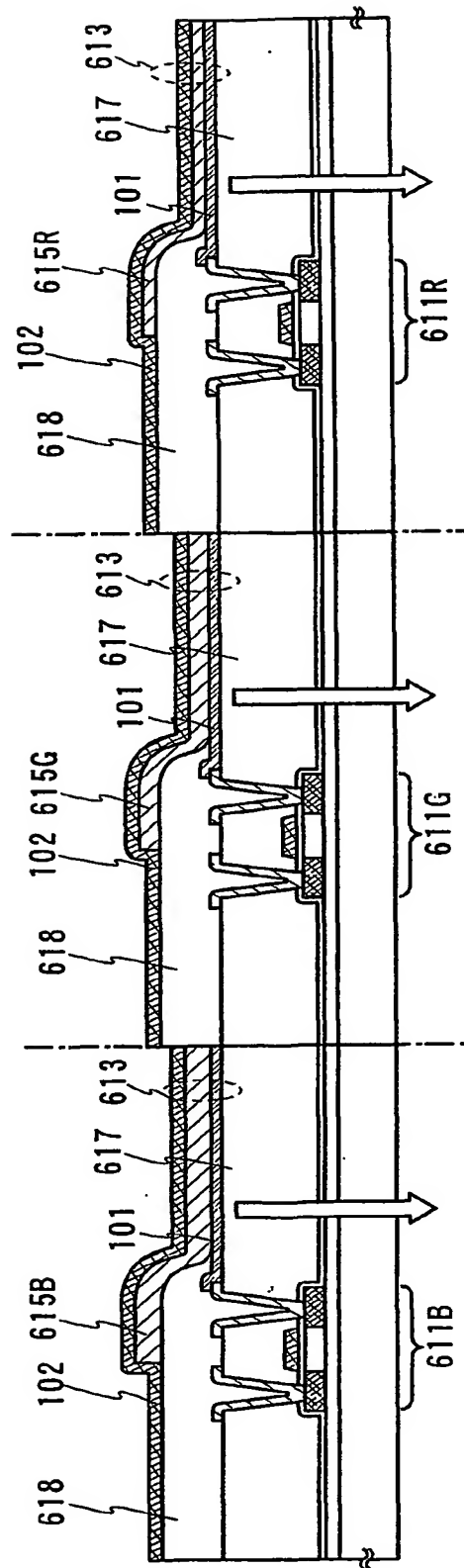


Fig. 6

7/21

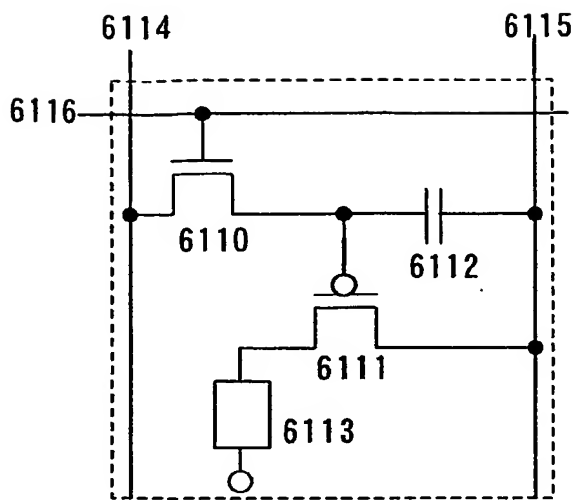


Fig. 7A

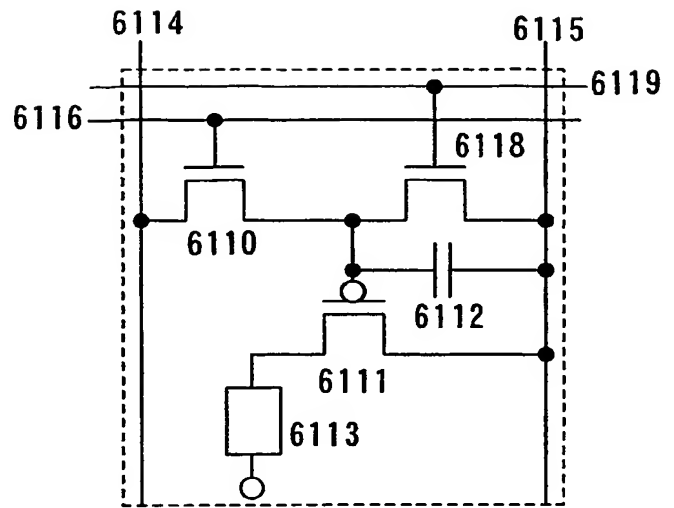


Fig. 7B

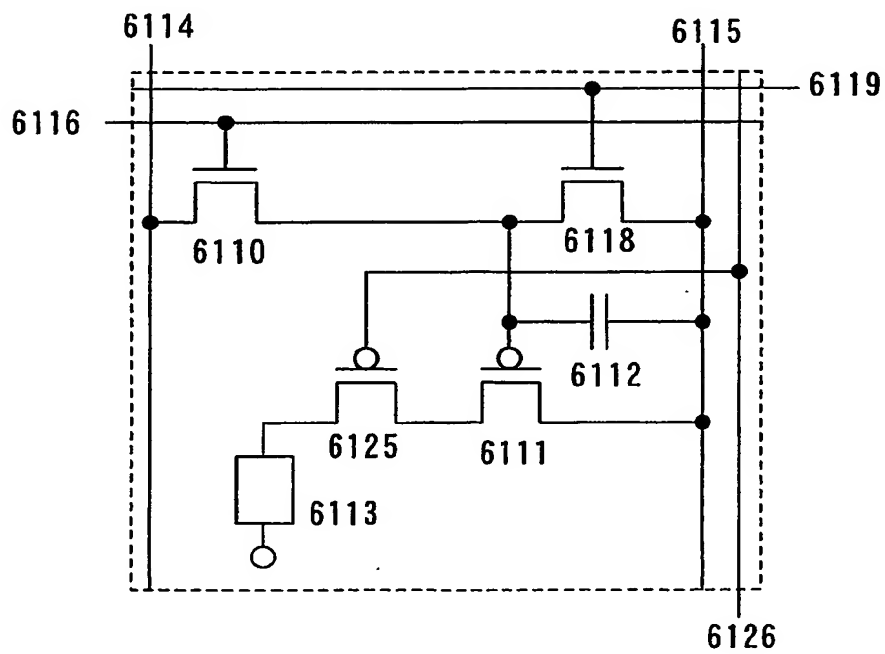
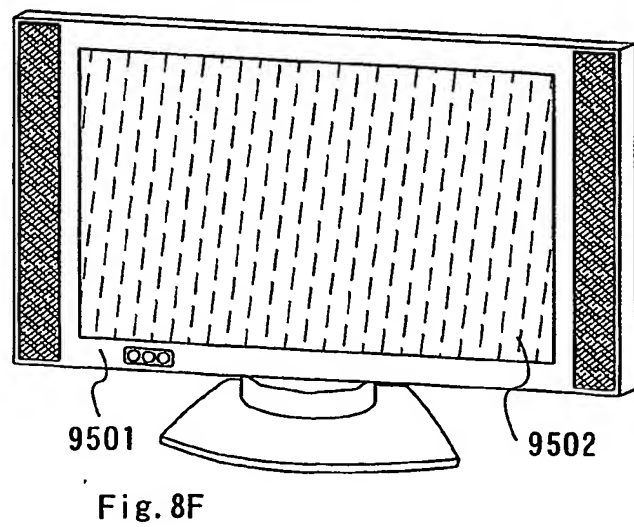
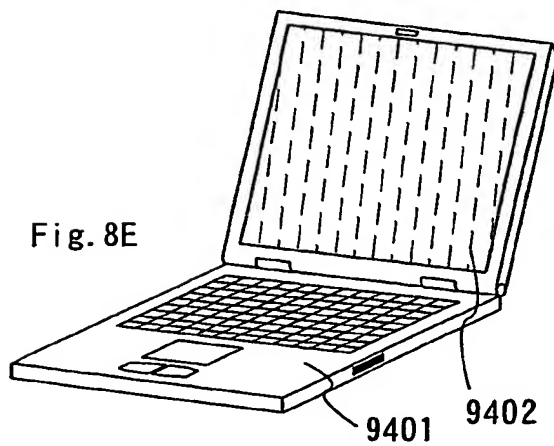
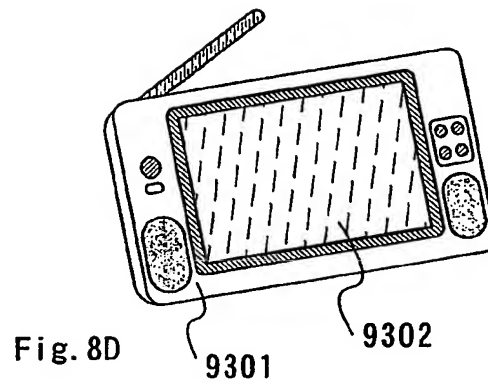
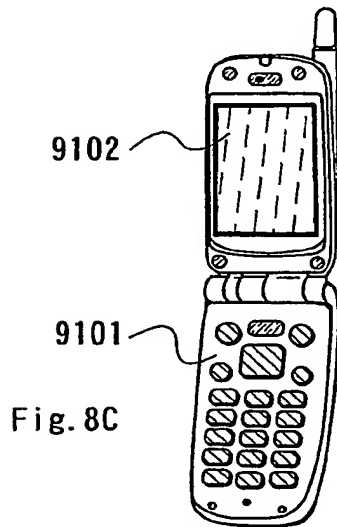
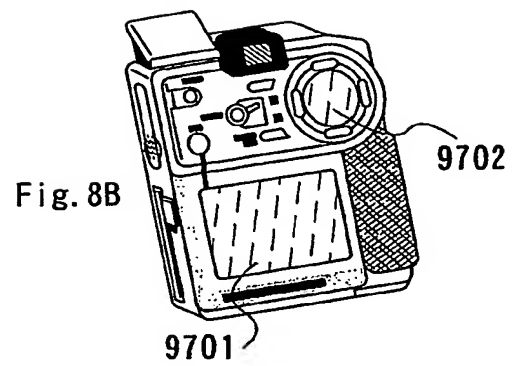
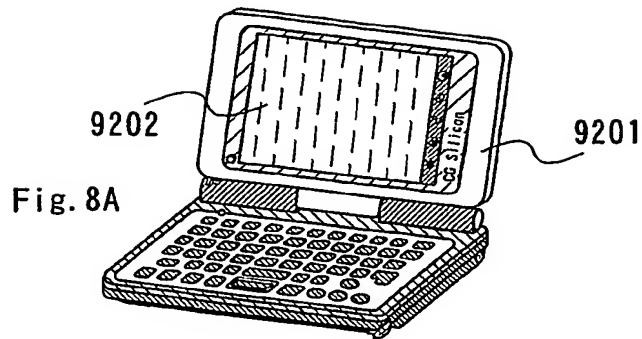


Fig. 7C

8/21





9/21

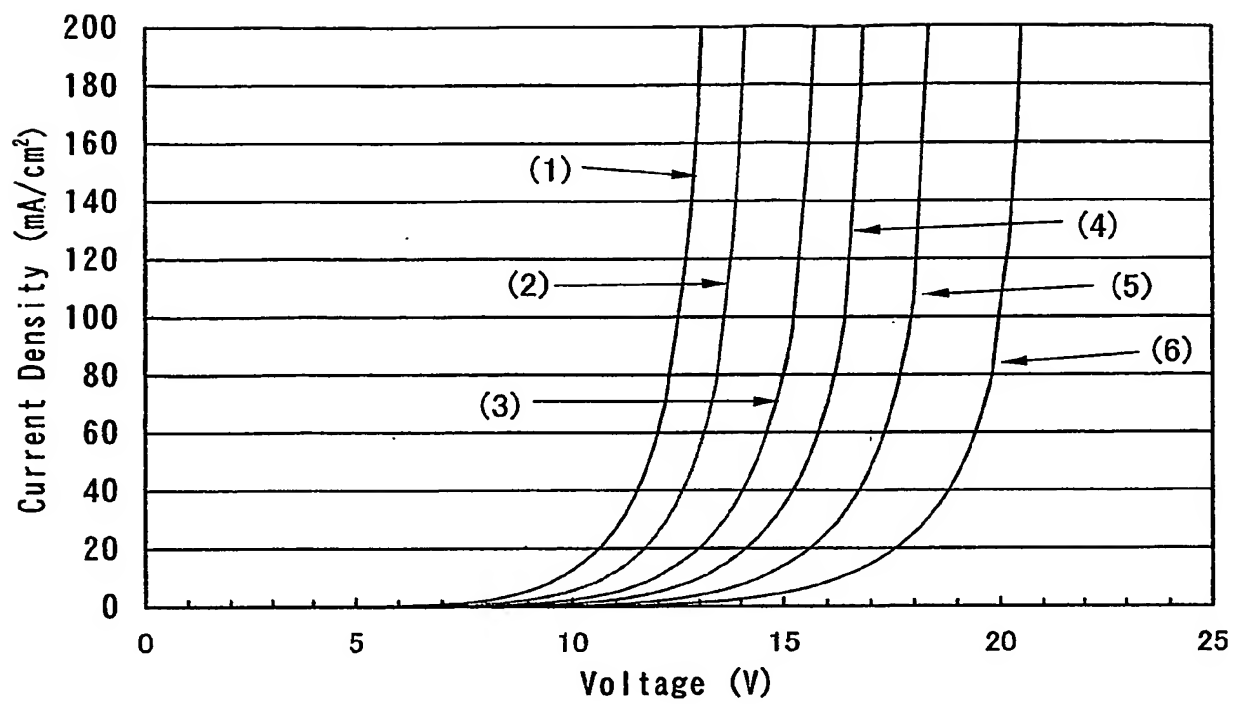


Fig. 9

10/21

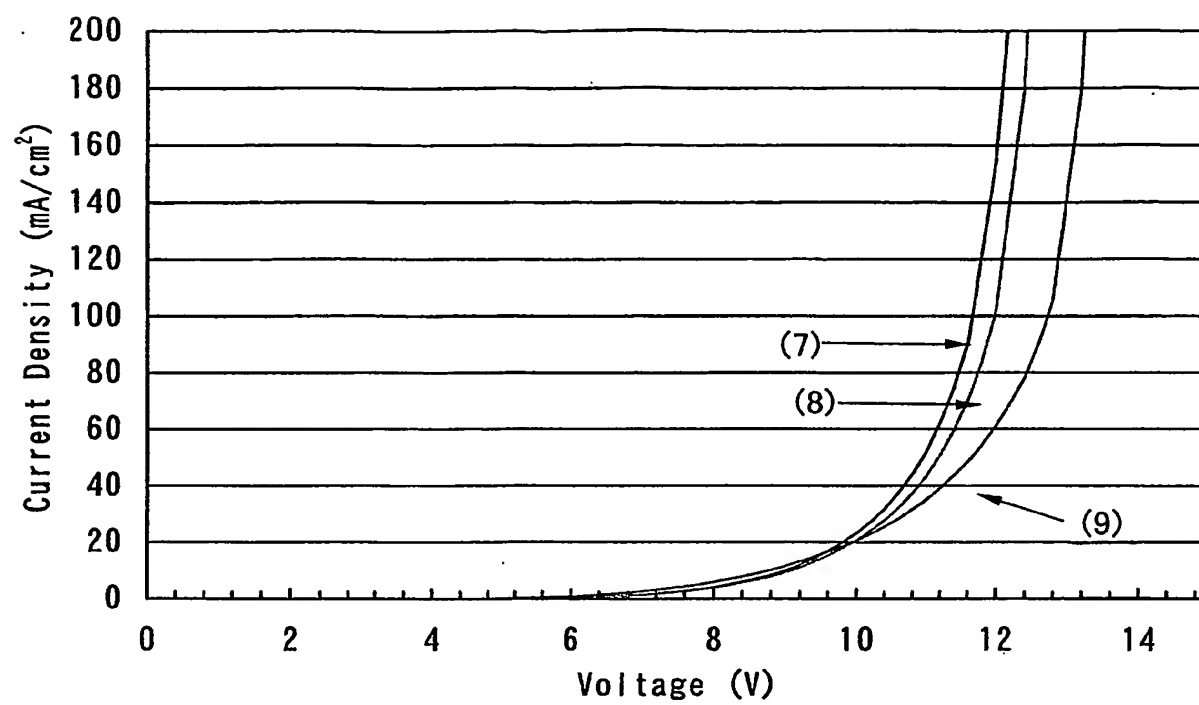


Fig. 10

11/21

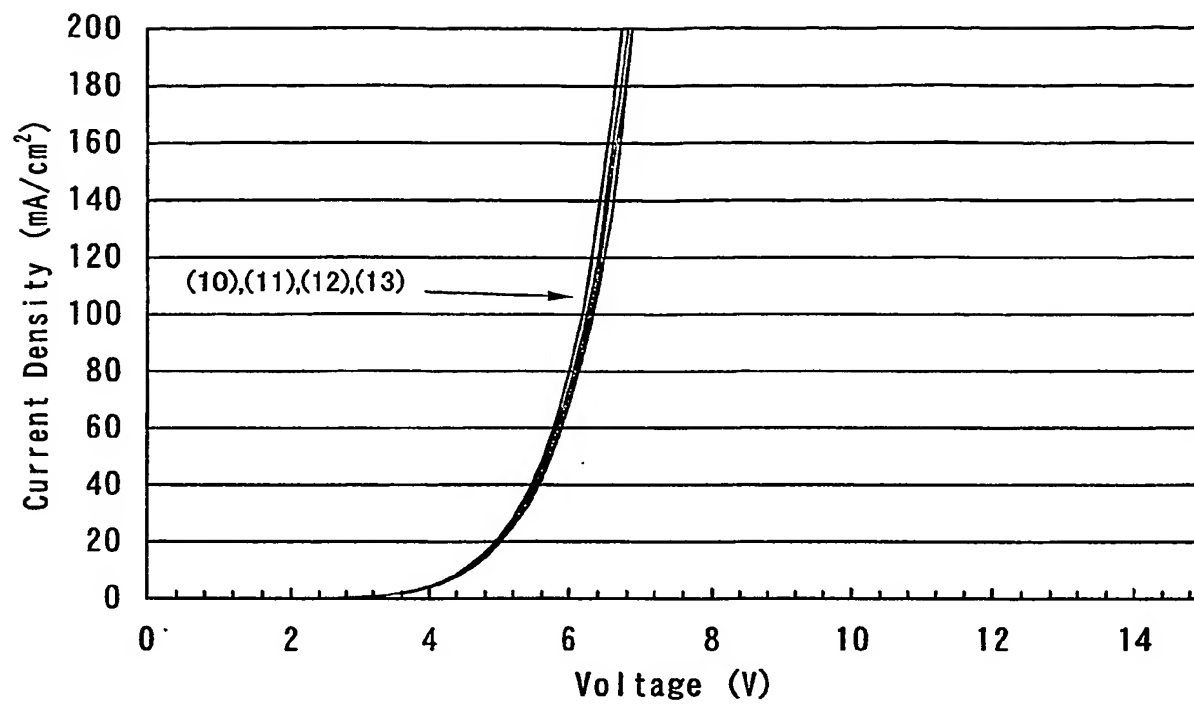


Fig. 11

12/21

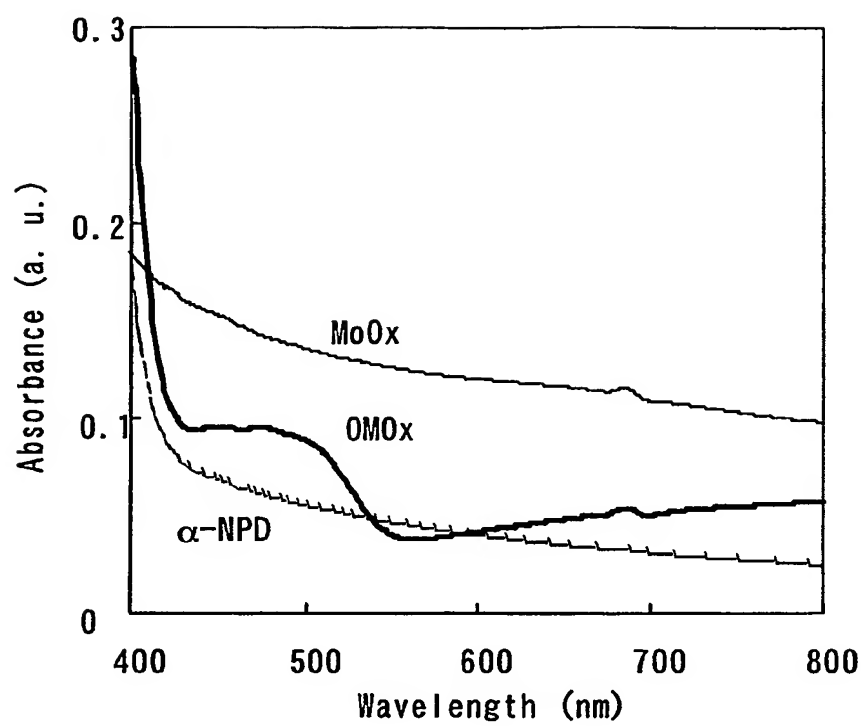


Fig. 12

13/21

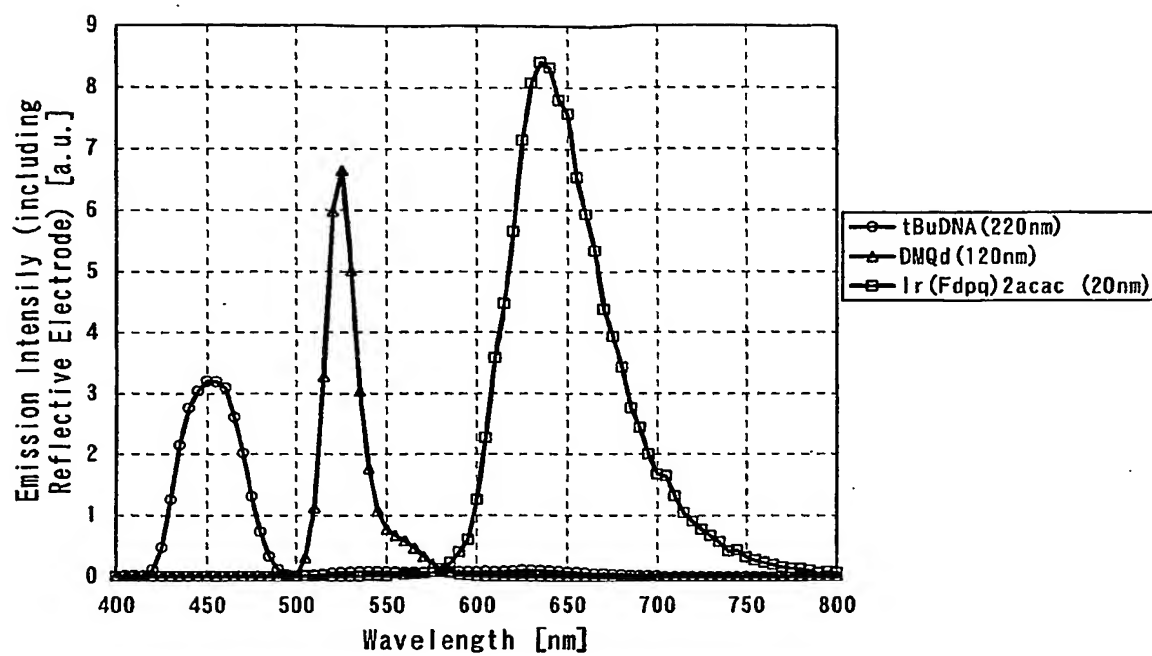


Fig. 13

14/21

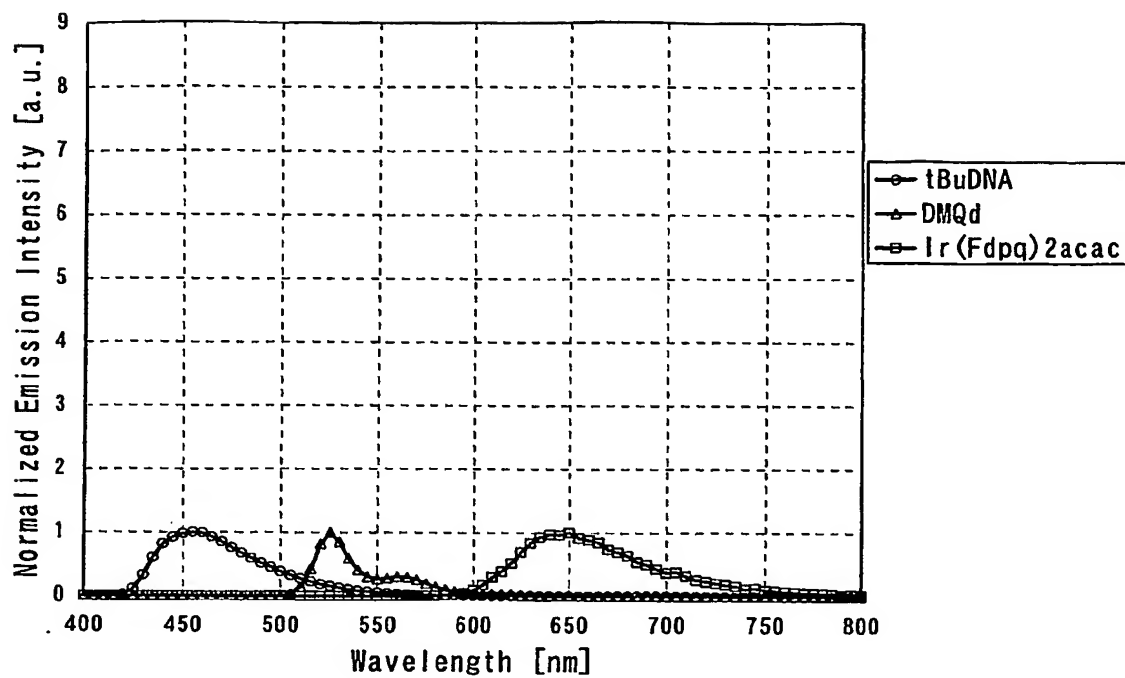


Fig. 14

15/21

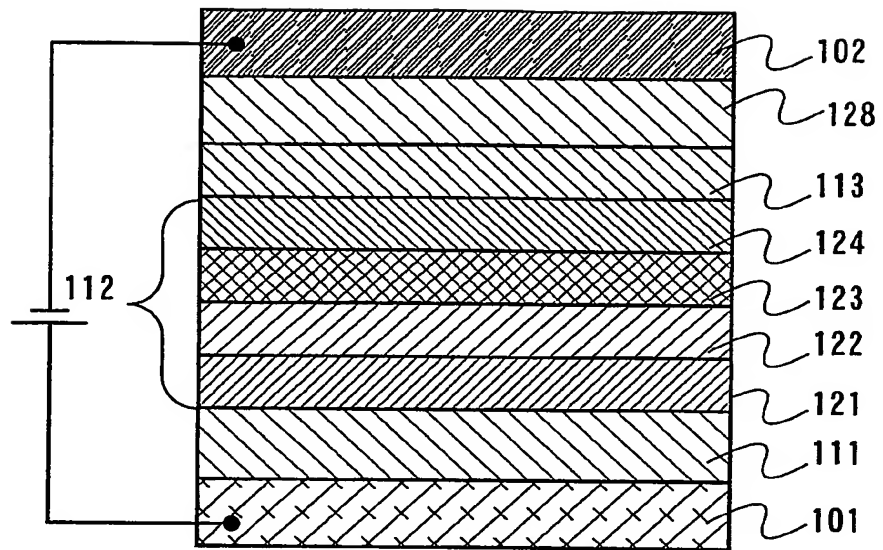


Fig. 15

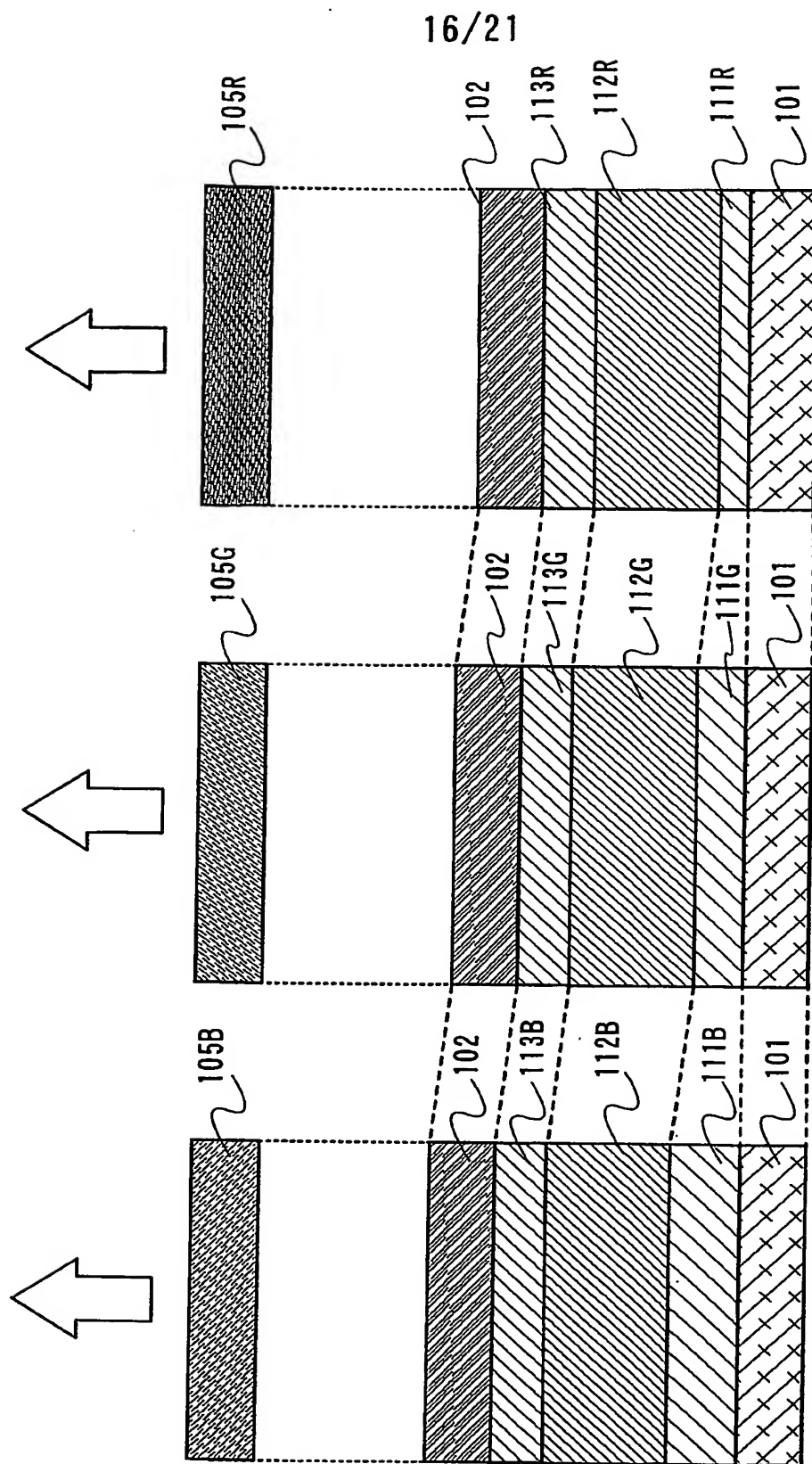


Fig. 16



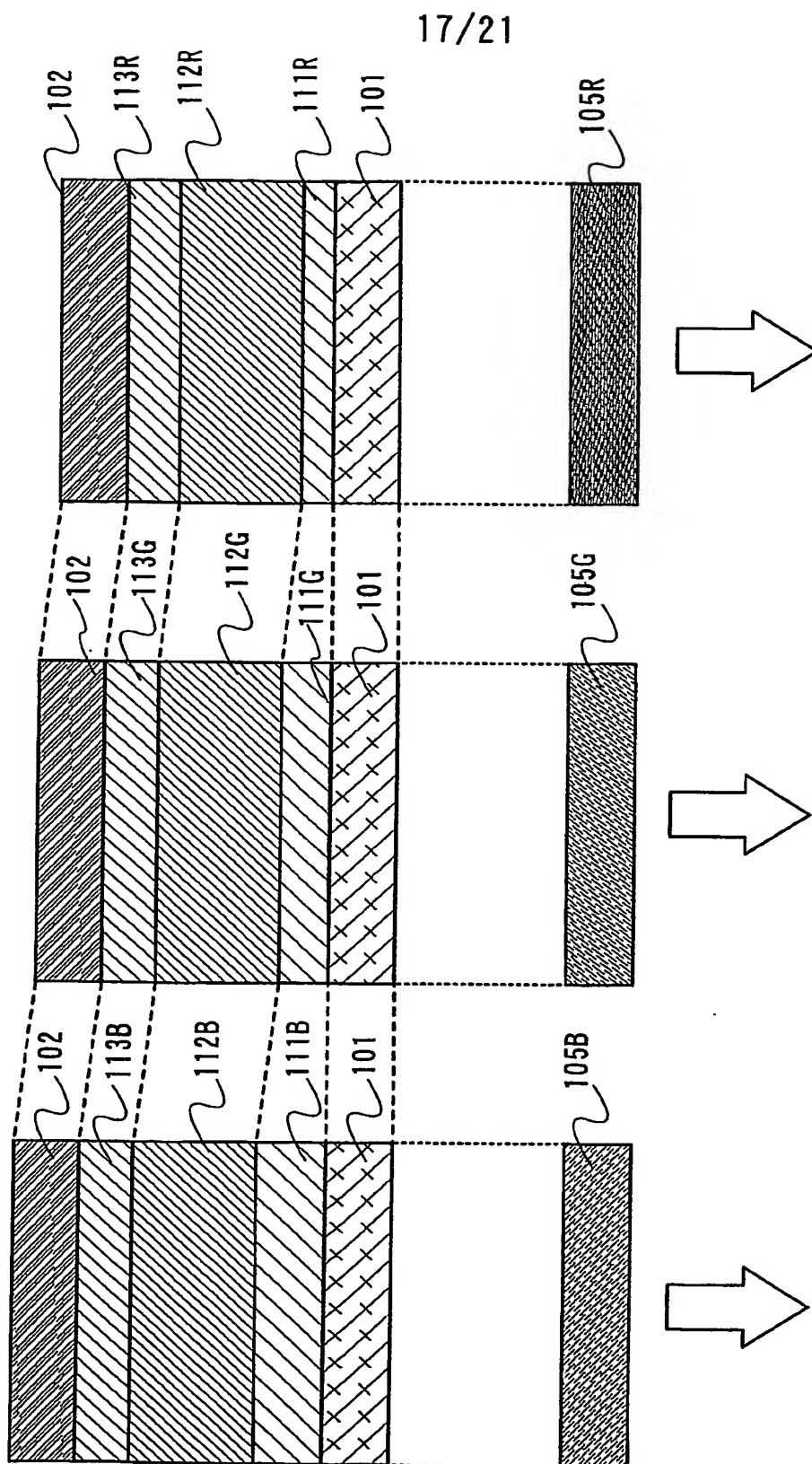


Fig. 17

18/21

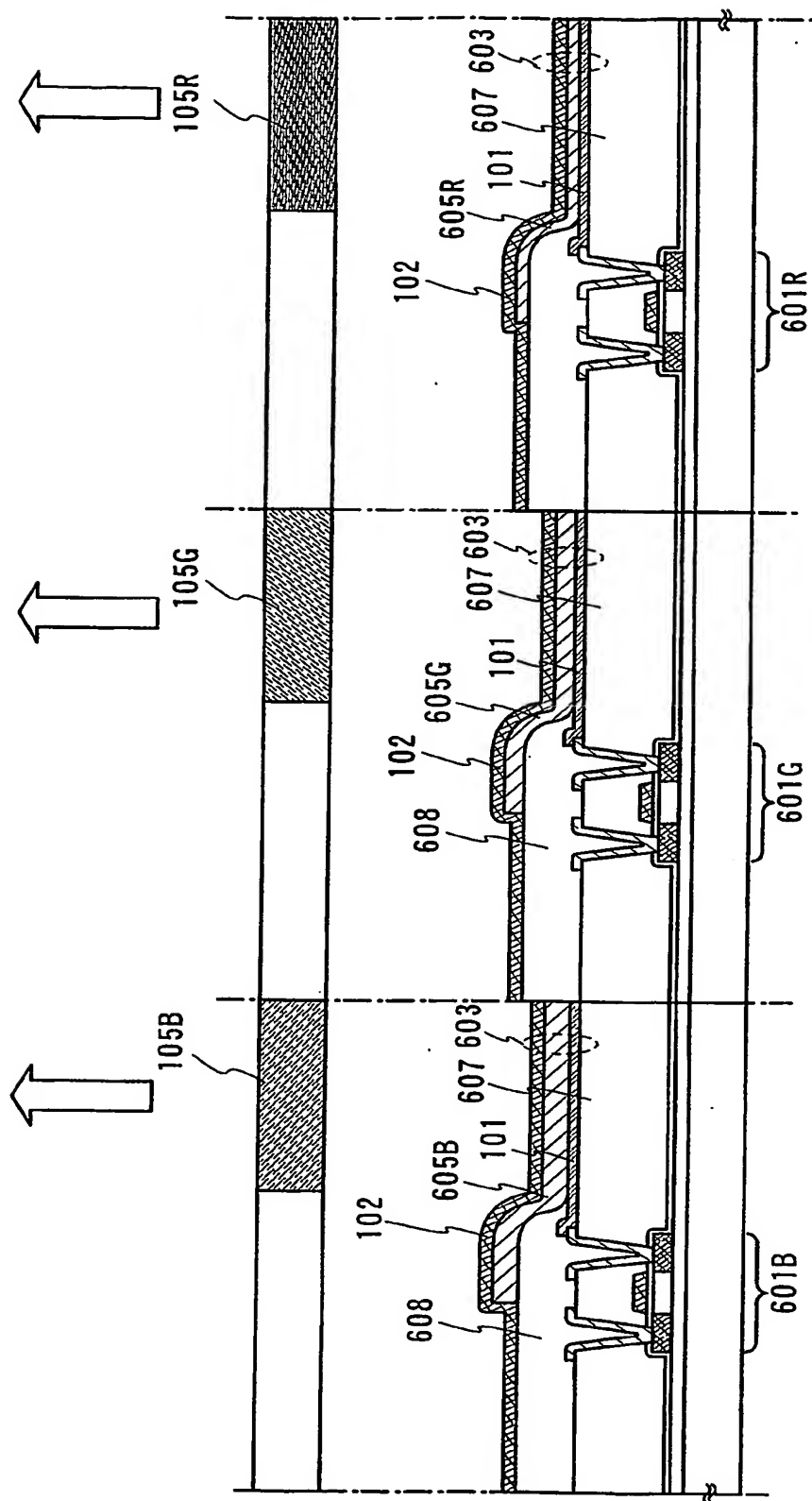


Fig. 18

19/21

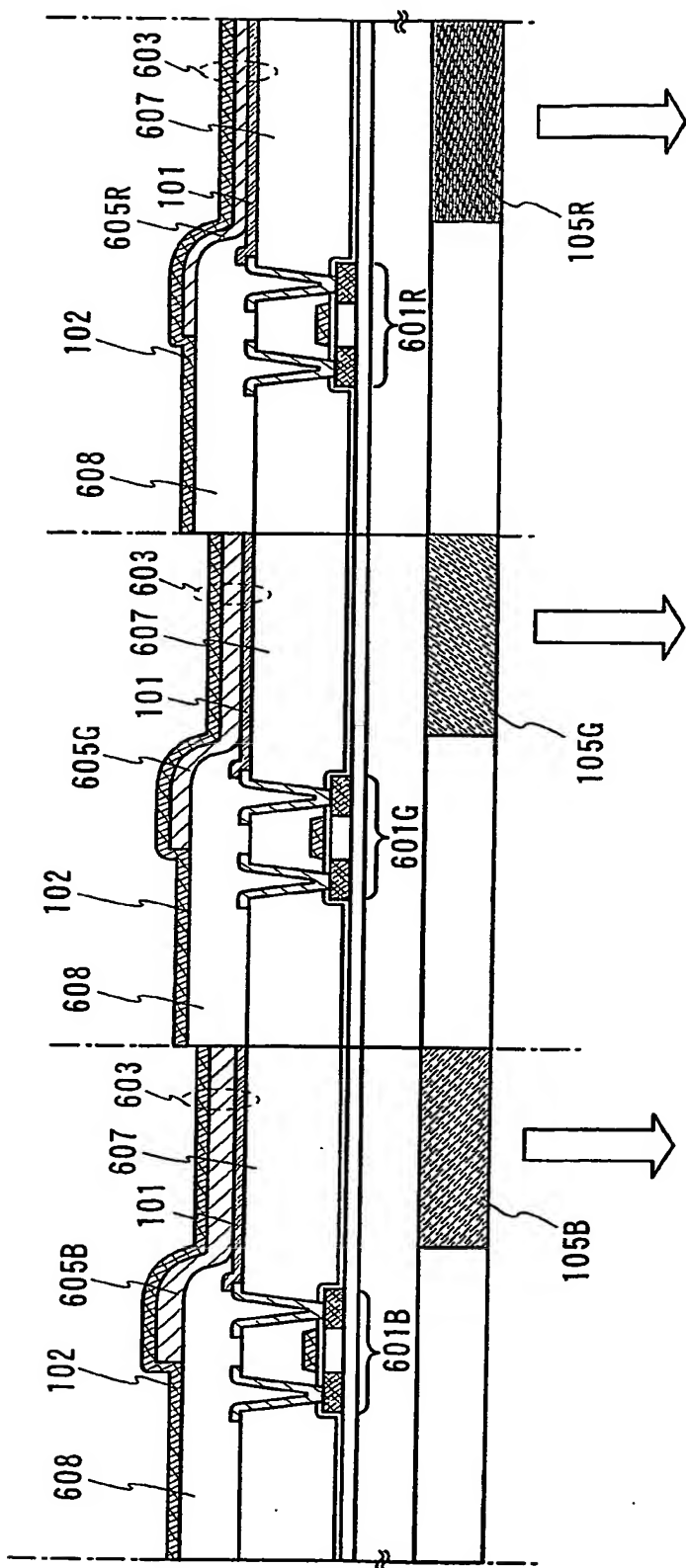


Fig. 19

20/21

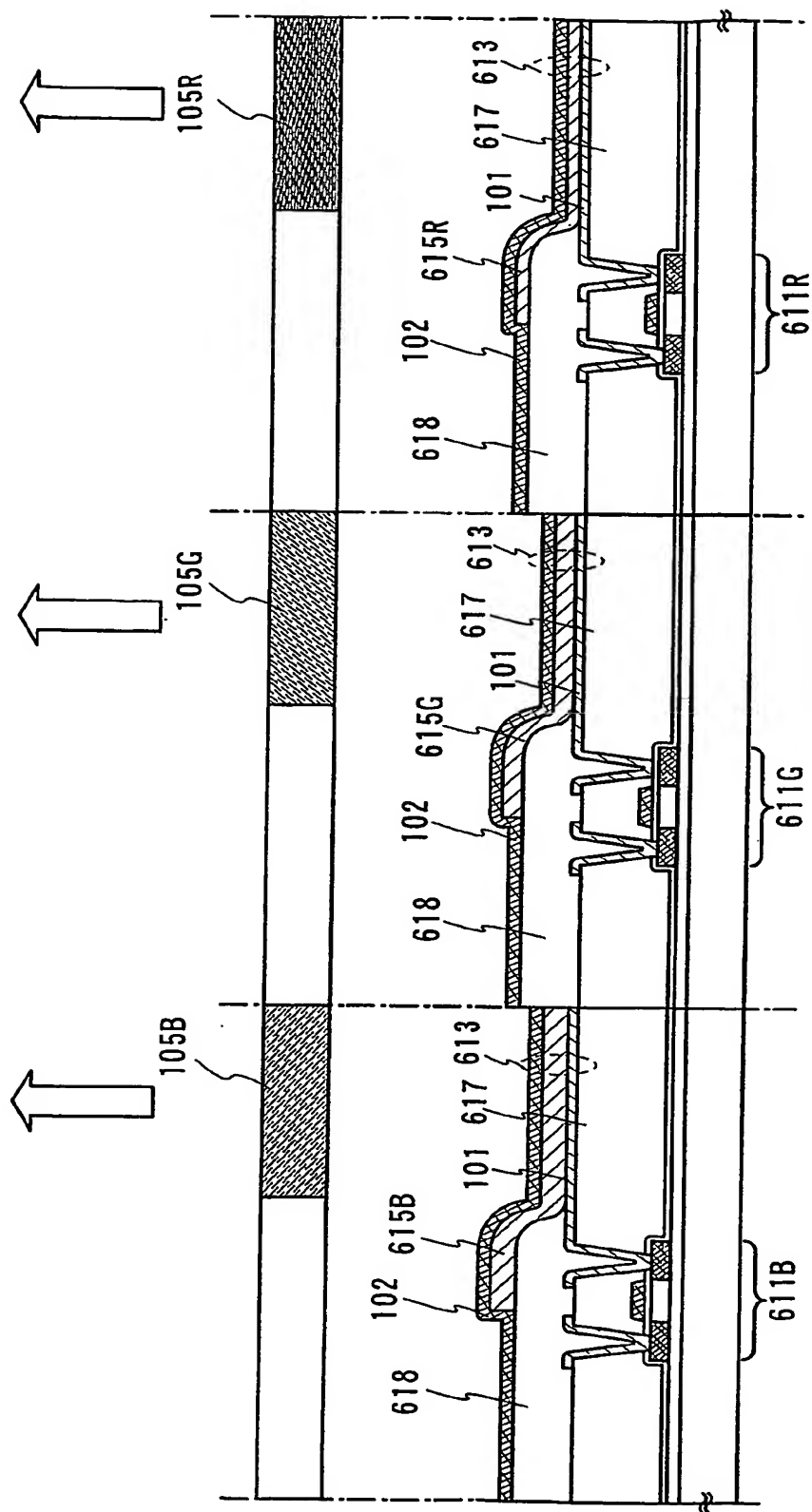


Fig. 20

21/21

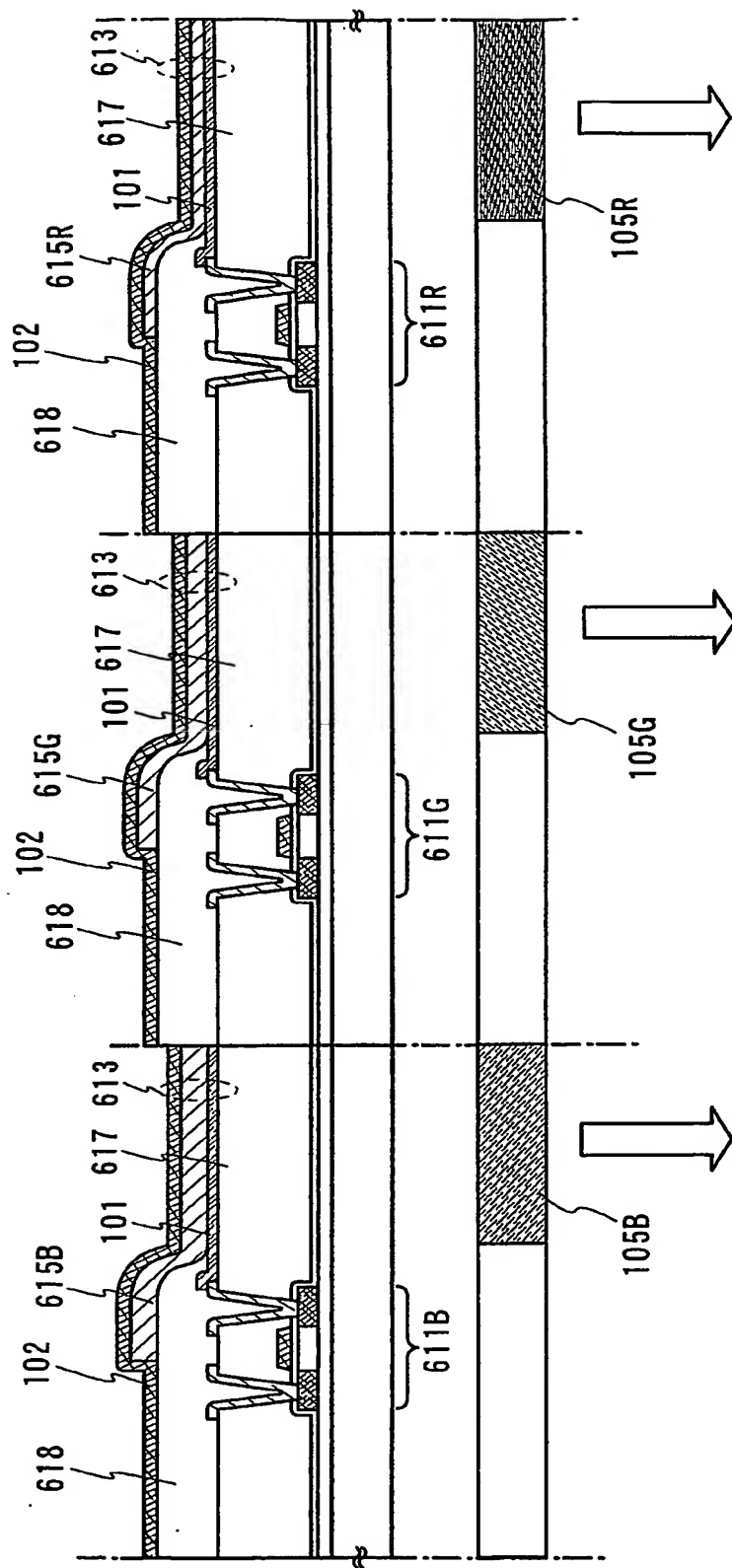


Fig. 21